

Fig. 1

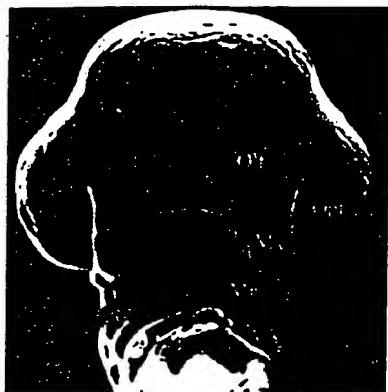


Fig. 2A

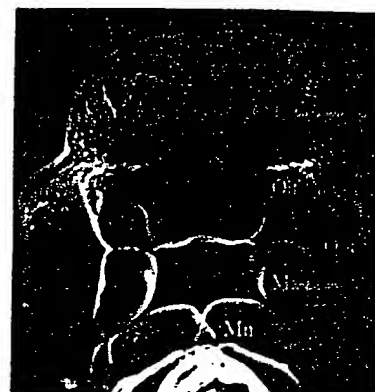


Fig. 2B



Fig. 2C



Fig. 2D

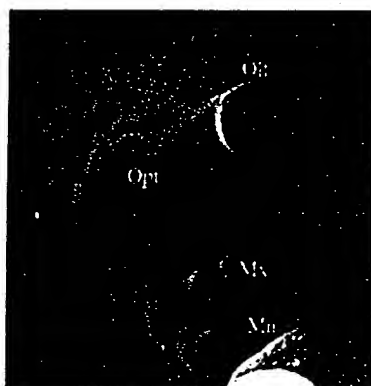


Fig. 2E

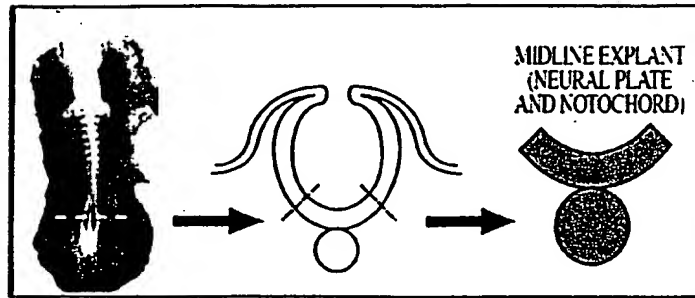


Fig. 3A

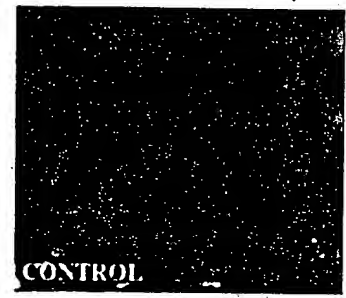


Fig. 3B

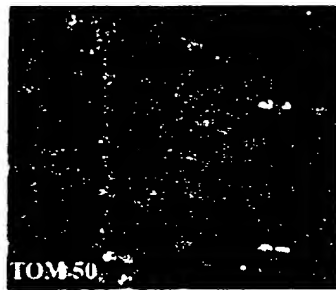


Fig. 3C

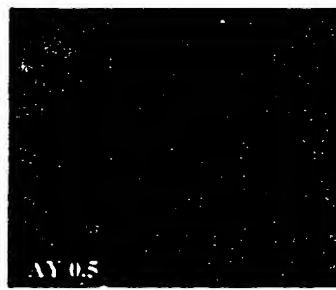


Fig. 3D

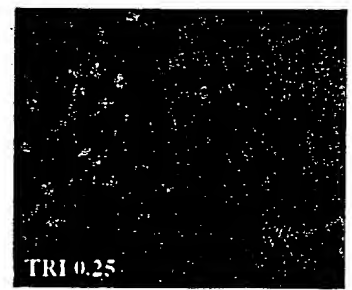


Fig. 3E

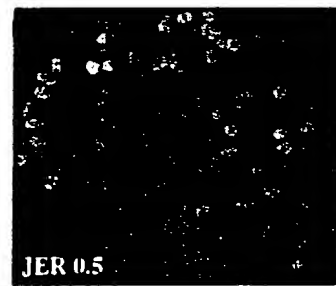


Fig. 3F

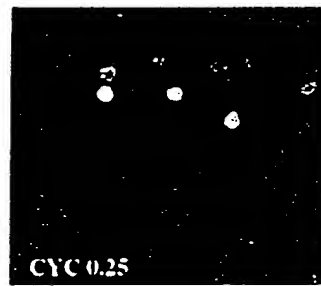


Fig. 3G

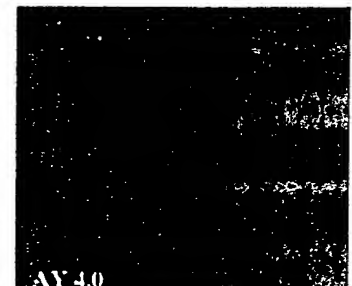


Fig. 3H



Fig. 3I



Fig. 3J

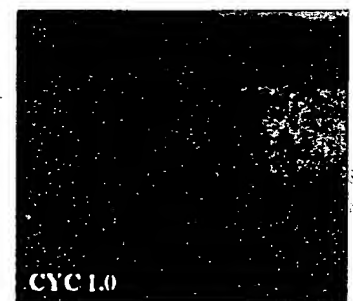


Fig. 3K

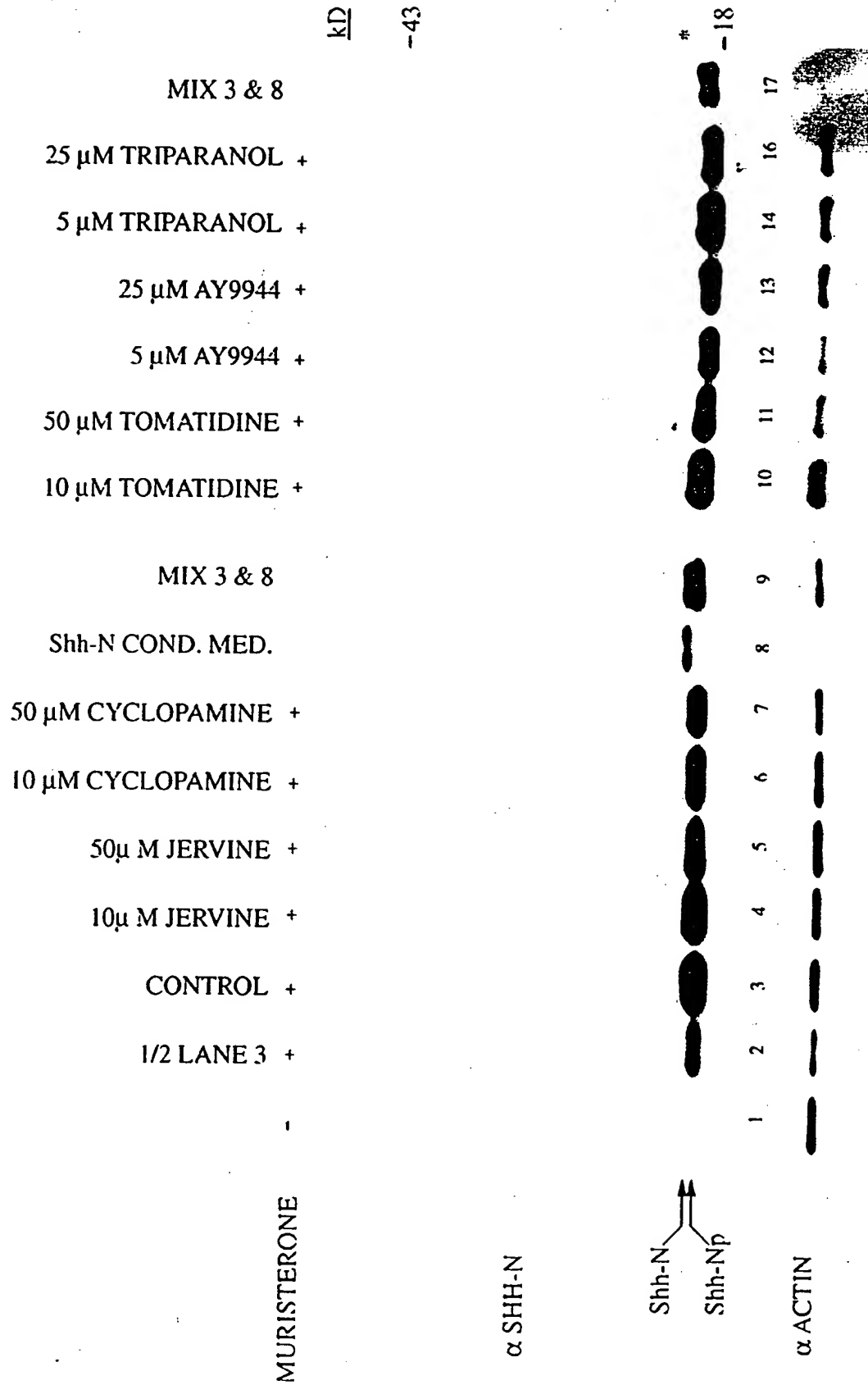


Fig. 4

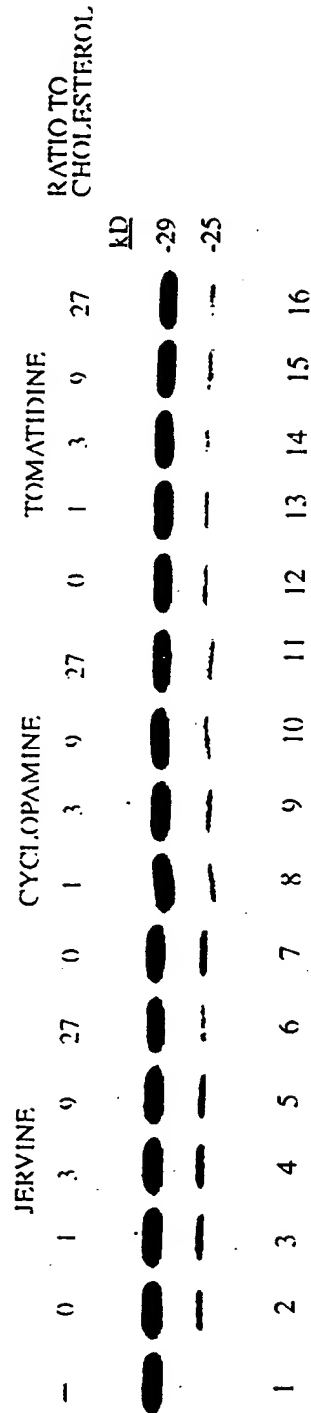


Fig. 5A

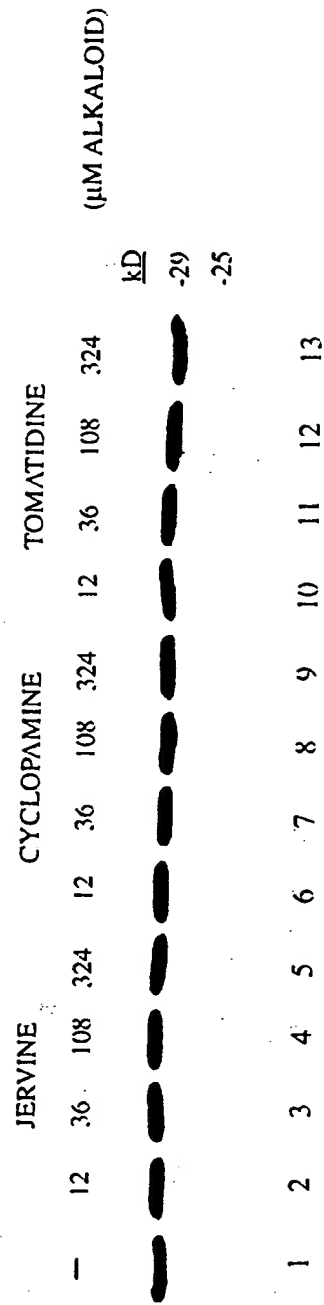


Fig. 5B

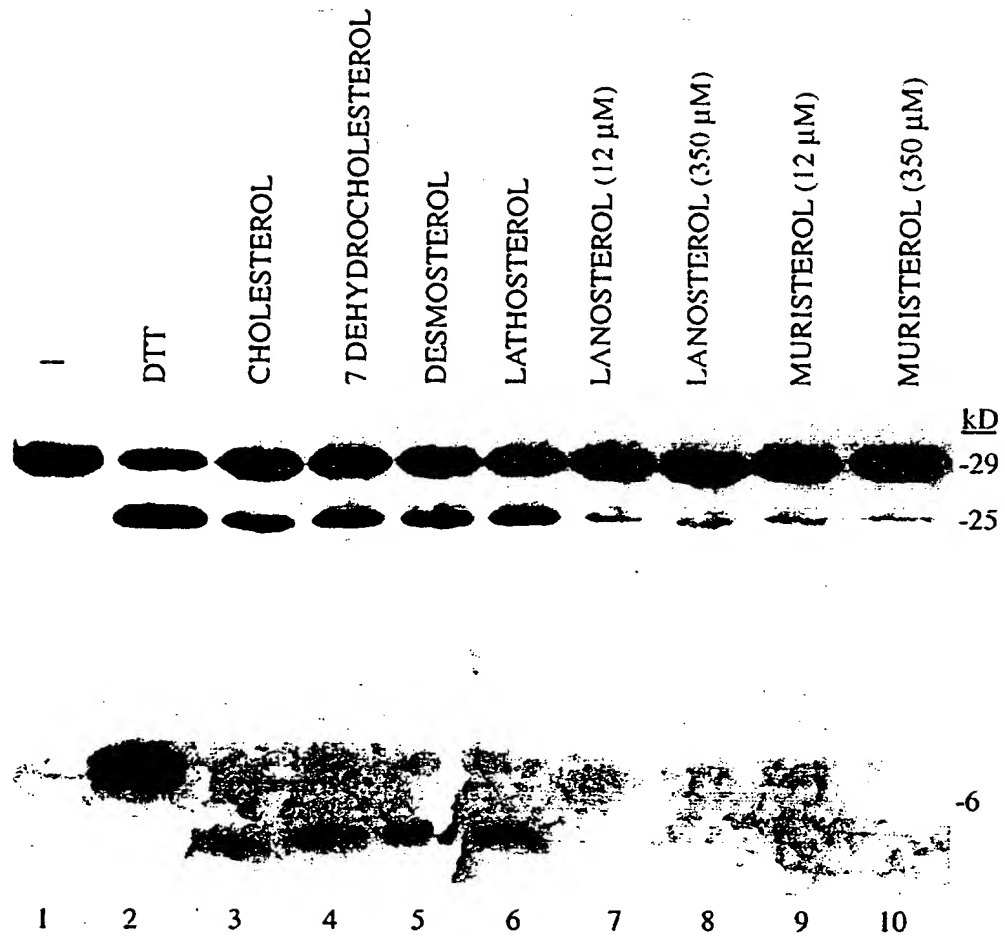


Fig. 5C

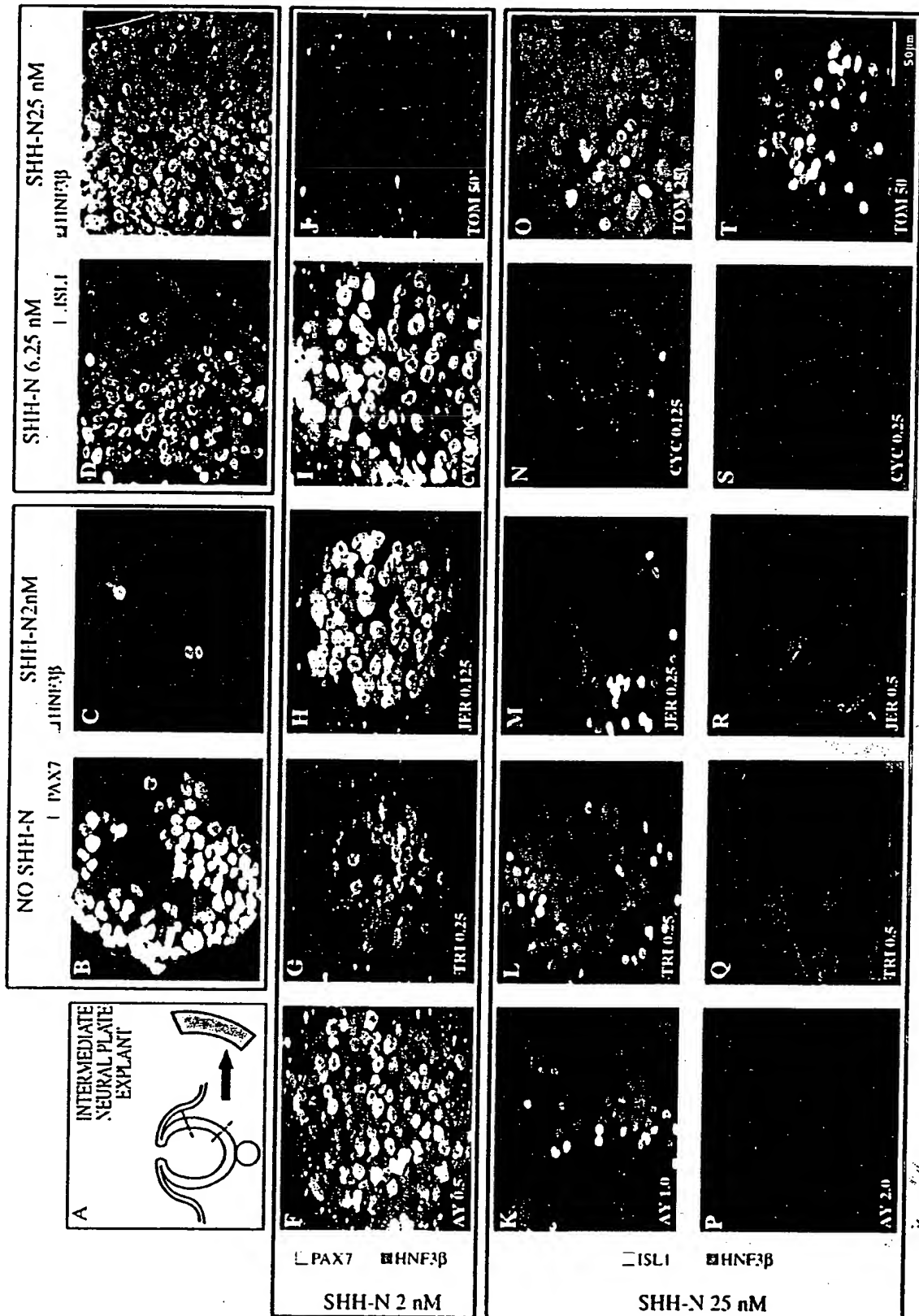


Fig. 6 (A-T)

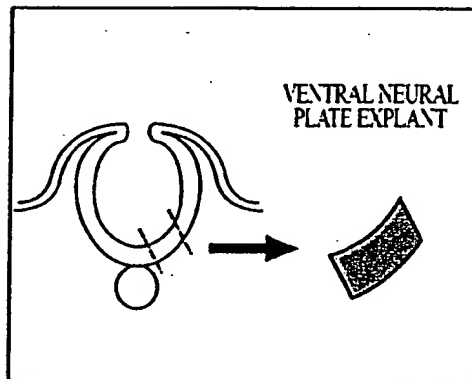


Fig. 7A

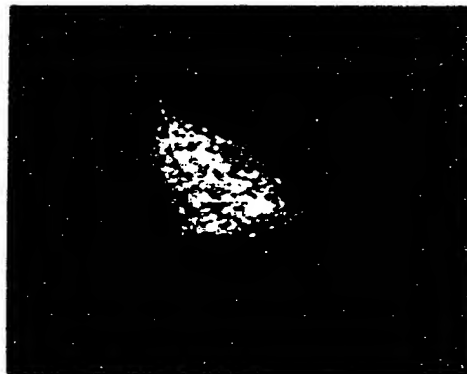


Fig. 7B

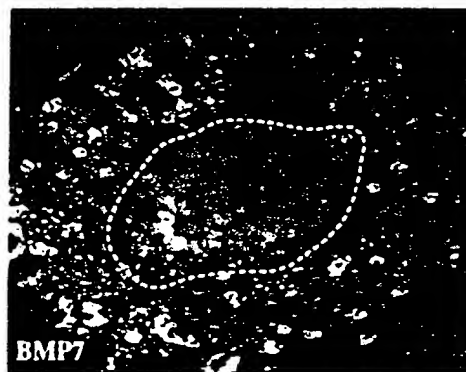


Fig. 7C



Fig. 7D

Control



Fig. 8A

Shh ^{-/-}



Fig. 8B

Control

Gli1



Fig. 8C

Shh ^{-/-}

Gli1



Fig. 8D

Control

Ptc1



Fig. 8E

Shh ^{-/-}

Ptc1



Fig. 8F

Control

BMP-4



Fig. 8G

Shh ^{-/-}

BMP-4



Fig. 8H

Control

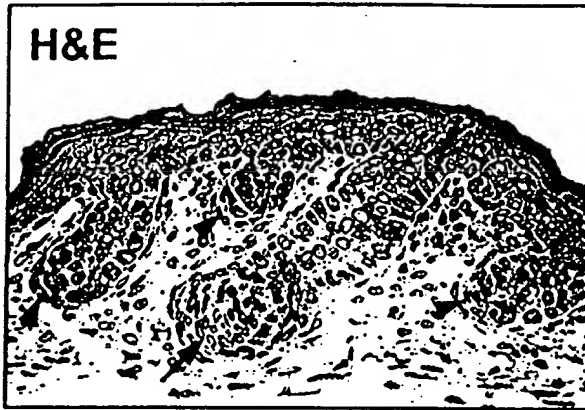


Fig. 9A

Shh^{-/-}

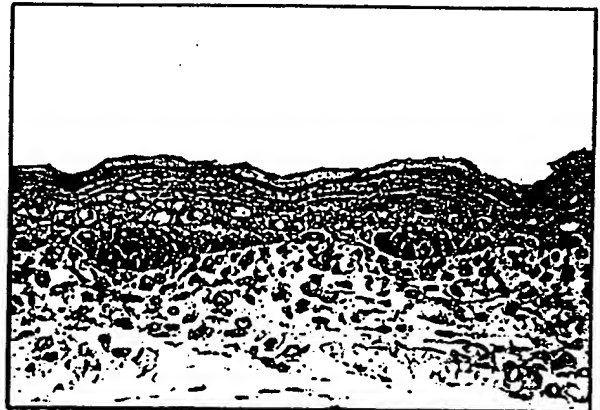


Fig. 9B

Control



Fig. 9C

Shh^{-/-}



Fig. 9D

Control

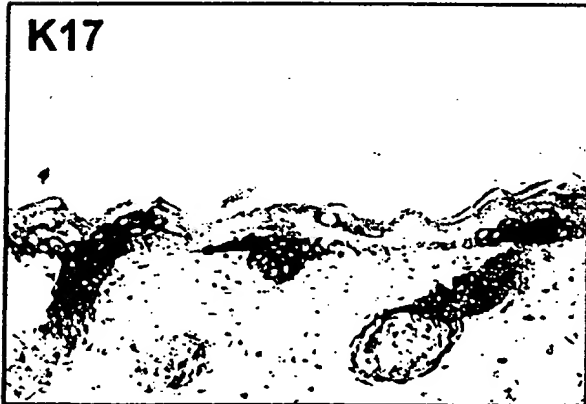


Fig. 9E

Shh^{-/-}



Fig. 9F

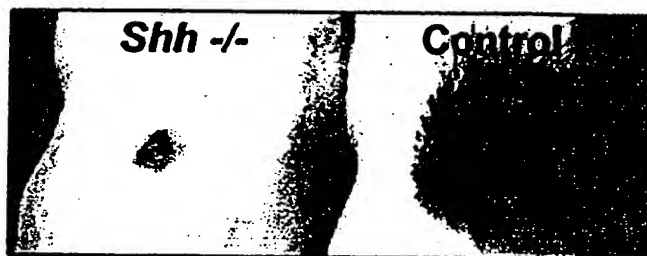


Fig. 10A

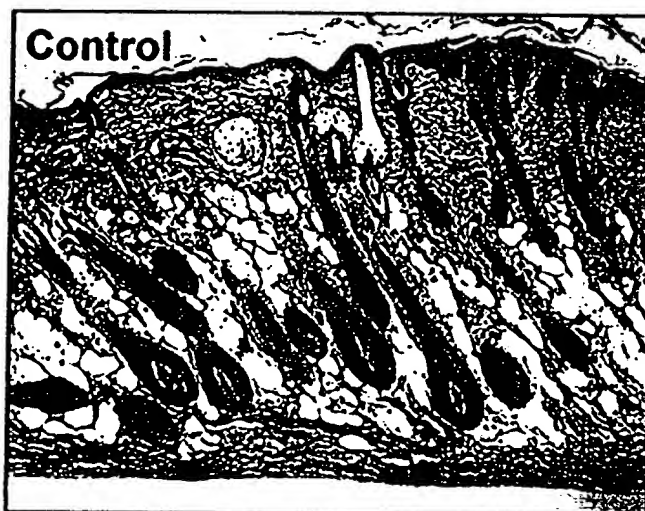


Fig. 10B



Fig. 10C

0080149680280



Fig. 10D



Fig. 10E

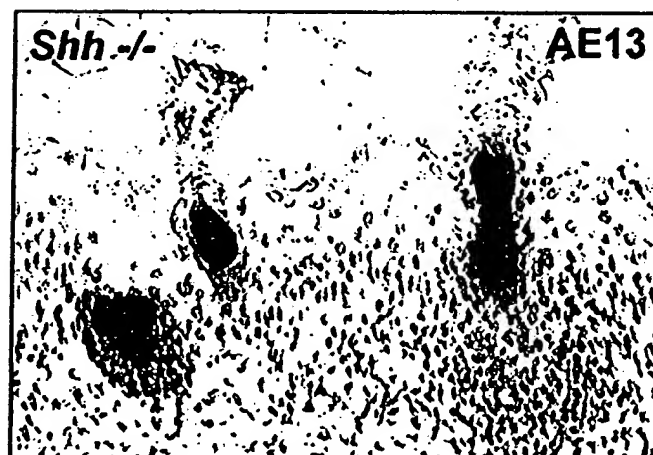


Fig. 10F

00708954-110800

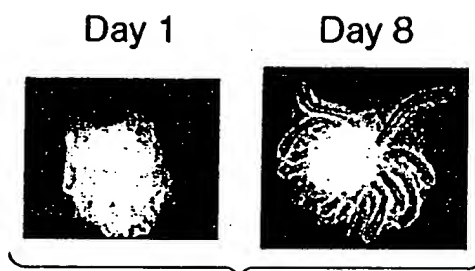


Fig. 11A

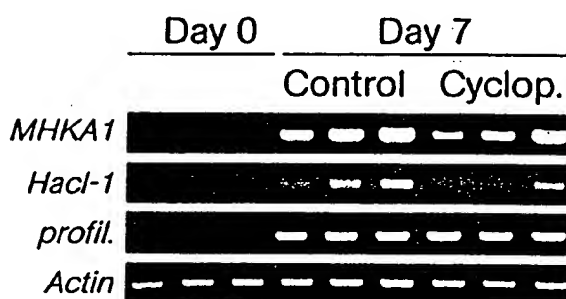


Fig. 11B

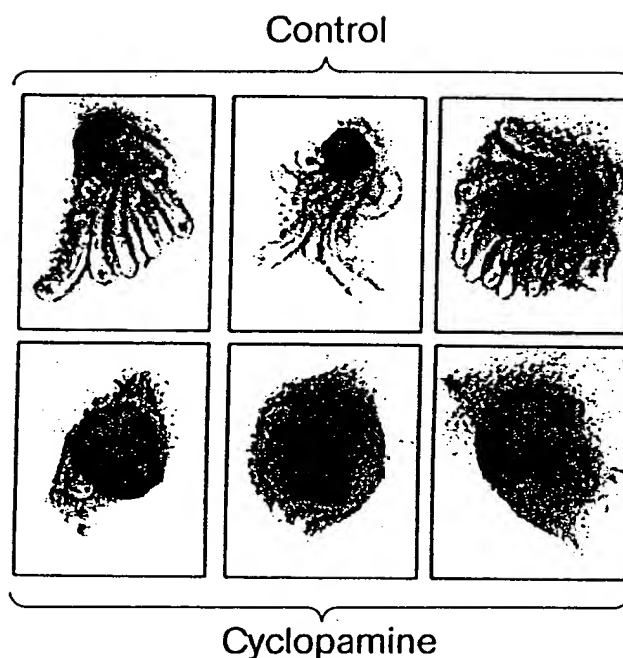


Fig. 11C

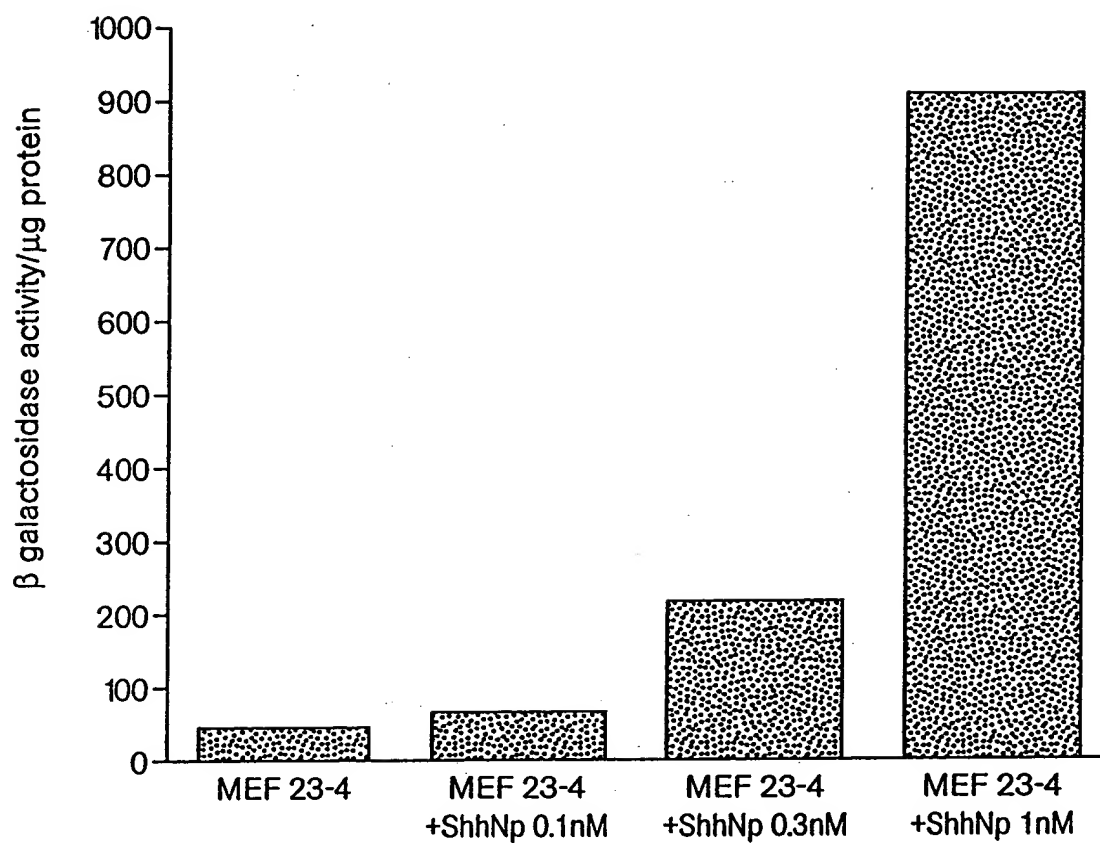


Fig. 12

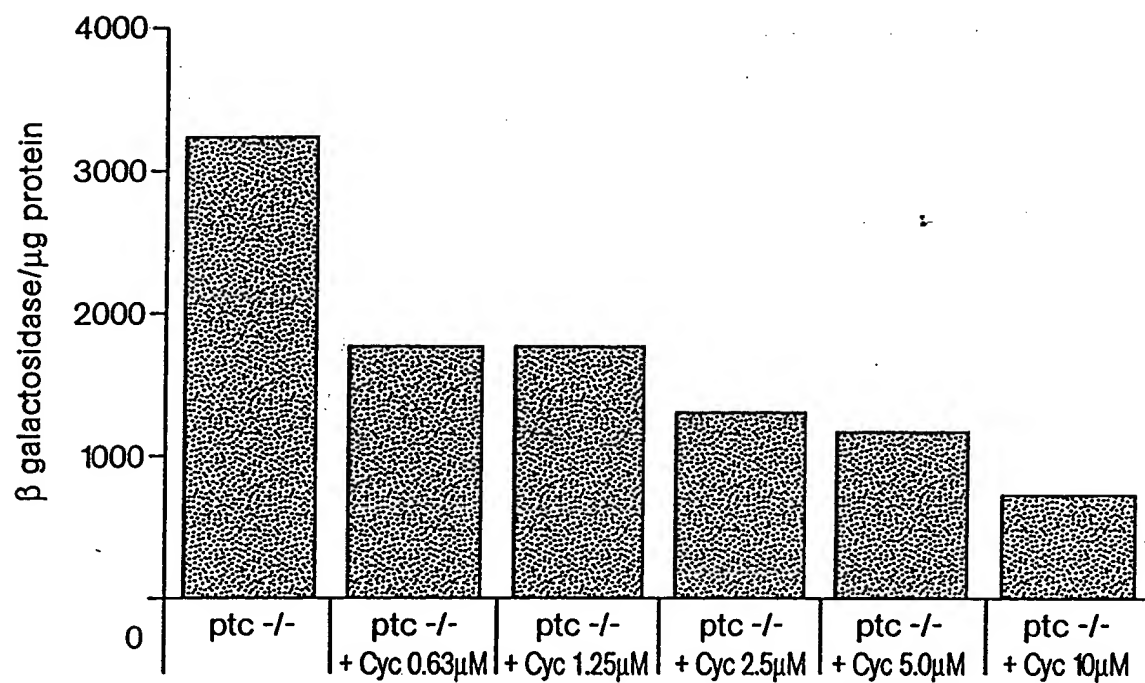


Fig. 13

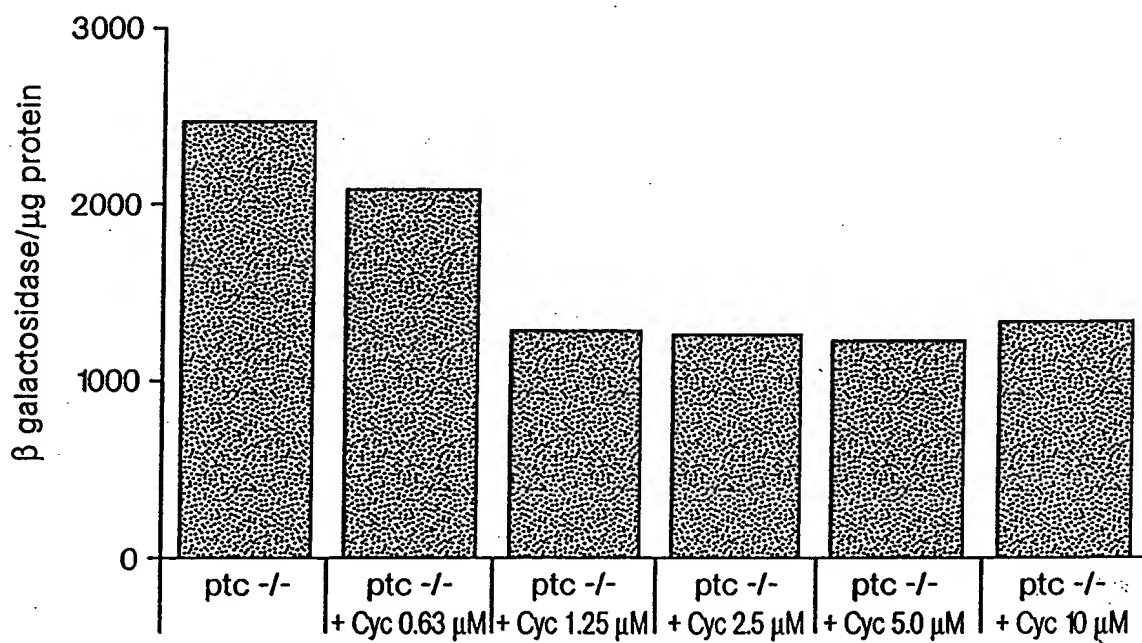


Fig. 14

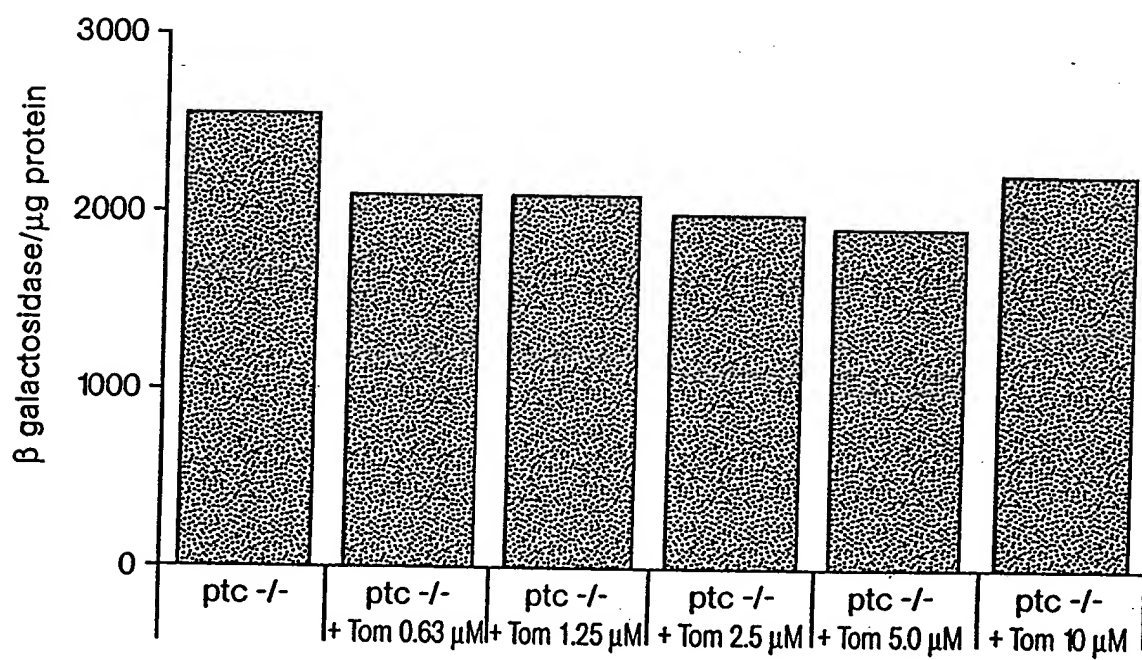


Fig. 15